

# 镍中氢与缺陷互作用的正电子寿命和多普勒展宽研究

吴奕初 朱梓英

(中山大学物理系, 广州 510275)

伊东芳子

(日本理化学研究所, 琦玉, 和光 351-01)

伊藤泰男

(日本东京大学核科学与技术研究中心, 茨城, 东海 319-11)

(1996 年 1 月 22 日收到; 1996 年 3 月 20 日收到修改稿)

采用正电子寿命和多普勒展宽技术研究了退火、回复及冷轧镍中氢与缺陷的互作用。结果表明: 冷轧镍充氢后正电子平均寿命和多普勒展宽  $S$  参数上升, 并且寿命谱的两成分拟合出现一个 390 ps 的长寿命分量; 而退火及回复镍充氢后正电子平均寿命和多普勒展宽  $S$  参数均不改变。因此认为冷轧镍充氢后正电子参数(平均寿命和  $S$  参数)的上升取决于氢和空位的互作用, 与氢和位错的互作用无关; 氢-空位对也可以作为聚集空位的核心。

PACC: 7870B; 6180F; 6220M

## 1 引 言

金属与合金中的氢脆是几十年来人们一直广泛研究的课题; 对于氢致开裂机理, 有不同的观点。一个普遍被接受的观点就是金属脆化的陷阱效应, 即金属的脆化是由于氢和缺陷的互作用引起的<sup>[1]</sup>。氢一般是通过高压充氢或电解充氢引入。氢进入金属内部后, 处于间隙位置还是形成氢化物取决于金属本身及充氢的条件。间隙氢在金属中有高的迁移率, 室温时氢在晶格中的固溶度通常很小, 但金属内部如存在缺陷(空位、位错及空位团等)氢可填充缺陷而导致表观固溶度的增加。氢的有限固溶度、高迁移率以及和缺陷的互作用引起了金属许多性能的变化。

自从 1976 年 Alex 等<sup>[2]</sup>发表了用正电子寿命研究氢脆问题的报道以来, 一些作者用正电子湮没技术(PAT)研究了氢-金属系统, 其中最感兴趣的是研究与缺陷有关的问题, 例如, 氢填充空位和位错<sup>[3]</sup>。目前理论和实验上都证实了氢填充缺陷以后, 其正电子寿命减少、角关联及多普勒展宽曲线加宽<sup>[4,5]</sup>。Kao 等<sup>[6]</sup>用多普勒展宽方法详细研究了形变镍中阴极充氢对  $S$  参数的影响。他们认为, 氢进入试样内部, 一方面可产生缺陷(位错); 另一方面可填充已存在的缺陷。随充氢时间变化,  $S$  参数的变化出现循环特征, 对应于缺陷的产生, 氢占据部分陷阱位置, 新的正电子陷阱产生等一系列变化过程。随后,

Sundar 等<sup>[7]</sup>、Smith 等<sup>[8]</sup>用正电子寿命研究发现,电子辐照、冷加工镍中充氢可产生比位错寿命更长的陷阱,他们认为这种新的正电子陷阱是氢鼓泡。

Pajak 等<sup>[9]</sup>研究了镍中氢与缺陷的互作用,他们认为氢原子能作为空位聚集的核心,这种效应在氢可动温度(如 473 K)消失。Rajainmaki 等<sup>[10]</sup>的研究指出:形变镍中 295 K 电解充氢或 20 K 离子注入氢将被空位俘获,氢-空位对在 305 K 分离。Chabik 的研究<sup>[11]</sup>发现有许多因素影响充氢镍样品的正电子参数,例如,β-Ni-H 化合物的分解、温度及其他的缺陷。

形变可产生空位和位错,充氢产生何类缺陷,以及氢与空位、位错如何作用是目前特别关心的问题。本文采用低温回复消除空位的办法,设法将氢与空位、氢与位错作用分离,使用正电子寿命和多普勒展宽技术研究了退火、回复及冷轧镍中氢与缺陷的互作用。

## 2 实验过程

纯度为 99.95% 的镍板,厚度为 1 mm,首先在 1173 K 下真空退火 1 h,炉冷至室温;然后不同状态试样分别进行如下处理:1) 退火态,即为完全退火试样,由于消除了大量非平衡的空位,并大幅度地降低了位错密度,因而可近似认为样品内含很少位错及空位。2) 冷轧态,退火试样冷轧至不同的变形量,作为冷轧态试样,其内部含有大量的位错和空位。3) 回复态,不同变形量的冷轧试样在 473 K 下回复 10 h,消除形变过程中所产生的空位,而位错密度的影响很小。

不同状态的试样经机械、电解抛光后,采用电解充氢方式将氢引入样品内部。充氢时以铂丝为阳极,双片样品为阴极,介质为 1 NH<sub>2</sub>SO<sub>4</sub> + 250 mg/1 As<sub>2</sub>O<sub>3</sub>,电流密度为 10 mA/cm<sup>2</sup>,时间为 3 h。然后,采用正电子寿命和多普勒展宽方法测量三种不同状态(退火态、冷轧态和回复态)充氢前后正电子寿命和 S 参数的变化。

实验中采用正电子寿命和多普勒展宽联合谱仪(日本理化学研究所), $3.6 \times 10^5$  Bq <sup>22</sup>Na 作为正电子源。正电子寿命测量使用快-快符合电路,时间分辨率为 210 ps;寿命谱采用国际通用的 POSITRONFIT 程序<sup>[12]</sup>拟合分析。多普勒展宽测量使用高纯锗探头,对 <sup>106</sup>Ru 中 512 keV γ 射线的能量分辨率为 1.07 keV;实验结果依据线型参数 S 表示,它定义为 511 keV 能量曲线的峰翼之比。

## 3 实验结果及讨论

图 1 给出冷轧镍充氢前后正电子平均寿命和多普勒展宽 S 参数的变化。实验发现退火态和冷轧态寿命谱拟合都是单指数的,退火态为(123 ± 1)ps,充氢后正电子平均寿命不变。实验测得寿命值比文献公认的镍中完全退火态寿命值(约 110 ps)大,主要原因是样品的纯度(99.95%)不高,样品内部含有少量的杂质。我们的测量值与文献[7]报道的有类似纯度(99.98%)退火镍结果(126 ± 2)ps 相近。因此,可以认为退火态寿命值偏高不影响随后实验结果的讨论。冷轧变形后正电子平均寿命增加,形变量达到 9% 以后寿命出现饱和,饱和值为(179 ± 1)ps(图 1(a)),接近镍中单空位的寿命( $\tau_{1v} = 180$  ps<sup>[13]</sup>)。然而,冷轧

镍充氢后正电子平均寿命进一步增加,事实上,冷轧镍充氢的寿命谱可分解为两指数寿命;即  $\tau_1 = (179 \pm 1) \text{ps}$ ,  $\tau_2 = (390 \pm 20) \text{ps}$ , 强度为  $I_2 = (5 \pm 1) \%$ . 早期的工作也观察到类似的结果<sup>[7,14]</sup>. 多普勒展宽 S 参数的变化规律类似于平均寿命的变化(图 1(b)), 即退火镍充氢后 S 参数不变, 而冷轧镍充氢后多普勒展宽 S 参数上升.

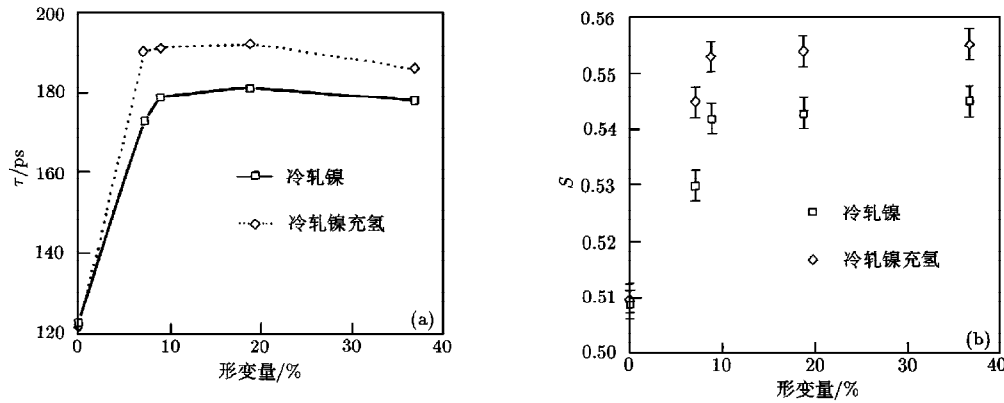


图 1 冷轧镍充氢前后正电子平均寿命(a)和多普勒展宽 S 参数(b)随形变量的变化

图 2 给出回复镍充氢前后正电子平均寿命和多普勒展宽 S 参数的变化, 回复镍平均寿命为  $(177 \pm 2) \text{ps}$ , 稍小于冷轧镍的平均寿命  $(179 \text{ps})$ , 减小的原因归结于形变产生的缺陷(空位)的消除; 一个重要的结果就是回复镍充氢后正电子平均寿命和多普勒展宽 S 参数均不改变, 并且, 回复镍充氢的寿命谱的两成分拟合也是不成功的.

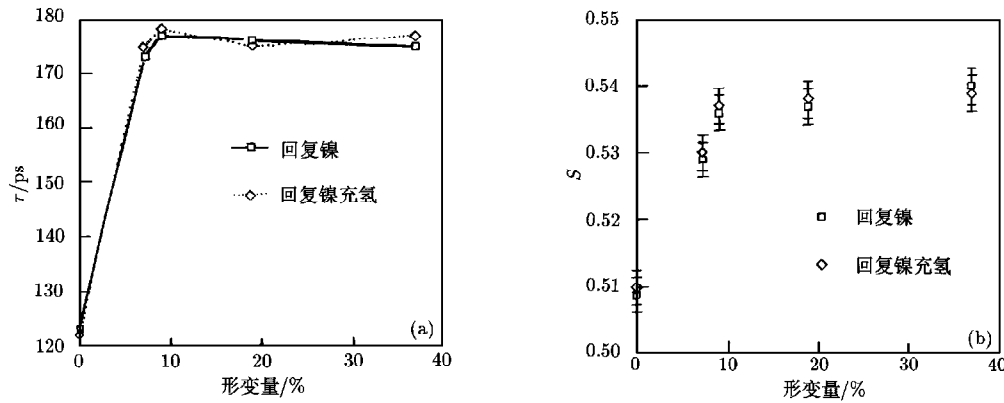


图 2 回复镍充氢前后正电子平均寿命(a)和多普勒展宽 S 参数(b)随形变量的变化

冷轧镍中充氢引起平均寿命和多普勒展宽 S 参数显著上升, 表明氢进入试样内部引起了新缺陷的产生或缺陷的增殖. 许多实验表明<sup>[1-4,6-8]</sup>, 镍中充氢可产生各种氢致缺陷, 如空位、位错、空位团、微空洞、氢鼓泡和氢化物. 从前人的工作<sup>[15]</sup>来看, 因我们实验中使用的充氢电流密度较小, 故充氢时试样内不产生微空洞和氢鼓泡. 另外, 我们早期工作

表明<sup>[16]</sup>:X 射线衍射证实镍中充氢引起  $\beta$  相氢化物的产生,并且室温时效将发生分解,但氢化物分解前后多普勒展宽 S 参数保持不变,这说明氢化物本身对正电子不敏感.因此,我们认为氢与空位型缺陷的相互作用是导致平均寿命和多普勒展宽 S 参数上升的主要原因.

冷轧镍中含有大量的空位和位错;而且 473 K 回复镍中形变产生的空位被消除,仅含有大量的位错.比较图 1 和图 2 的结果,我们得到:冷轧镍充氢后正电子平均寿命和多普勒展宽 S 参数的上升取决于氢和空位的相互作用,与氢和位错的相互作用无关.进一步,冷轧充氢镍中的寿命谱的两成分拟合出现一个 390 ps 的长寿命分量,这个结果表明:氢-空位对也可以进一步作为聚集空位的核心.这个推论与 Johnston 等<sup>[17]</sup>的研究结果一致,他们观察到淬火的金中空位-杂质原子相互作用将促进四空位的形成,在氢气中淬火,由于氢的引入将产生高的四面体堆垛层错密度,氢能导致双空位的结合.Pajak 等<sup>[9]</sup>也观察到类似的结果.

## 4 结 论

1) 冷轧及回复镍中充氢实验表明:正电子平均寿命和多普勒展宽 S 参数的上升主要取决于氢和空位的相互作用,与氢和位错的相互作用无关.

2) 冷轧充氢镍中的寿命谱分析表明:氢-空位对也可以作为聚集空位的核心.

- [1] G. M. Pressouyre, I. M. Bernstein, *Met. Trans.*, **9A**(1978), 1571.
- [2] F. Alex, T. D. Hadnagy, D. G. Lynn *et al.*, Int. Conf. on Effect of Hydrogen on Behavior of Materials (The Metallurgical Society AIME, 1975), p. 642.
- [3] S. Mantl, Positron Annihilation, eds. P. C. Jain and R. M. Singru (South Asian Publisher, New Delhi, 1980), p. 97.
- [4] B. Lengeler, S. Mantl and W. Triftshauser, *J. Phys. F*, **8**(1978), 1691.
- [5] P. Jena, M. J. Ponnambalam and M. Manninen, *Phys. Rev.*, **B24**(1981), 2884.
- [6] Po-We Kao, R. W. Ure, Jr. and J. G. Byrne, *Phil. Mag.*, **A39**(1979), 571.
- [7] C. S. Sundar, A. Bharathi and K. P. Gopinathan, *Phil. Mag.*, **A50**(1984), 635.
- [8] F. A. Smith, C. F. Coleman and A. E. Hughes, Report No. AERE-R-10038, (1981).
- [9] J. Pajak and B. Rozenfeld, Positron Annihilation, eds. P. C. Jain, R. M. Singru and K. P. Gopinathan (World Scientific Publishing Co., Singapore, 1985), p. 558.
- [10] H. Rajainmaki, S. Linderoth, H. E. Hansen *et al.*, *J. Phys. F*, **18**(1988), 1109.
- [11] S. Chabik, *Phys. Stat. Sol.*, **120**(1990), K125.
- [12] P. Kirkegaard and M. Eldrup, *Computer Communication*, **7**(1974), 401.
- [13] G. Dlubek, O. Brummer, N. Meyendorf *et al.*, *J. Phys. F*, **9**(1979), 1961.
- [14] Cs. Szeles, Gy. Lang, Zs. Kajcsos, *Mat. Sci. Forum*, **105—110**(1992), 1261.
- [15] S. X. Xie and J. P. Hirth, *Mater. Sci. Eng.*, **60**(1983), 207.
- [16] 吴奕初、田中卓、常香荣、肖纪美, *物理学报*, **40**(1991), 1883.
- [17] I. A. Johnston, P. S. Dobson and R. E. Smallman, *Proc. Roy. Soc. Lond. A*, **315**(1970), 231.

# POSITRON LIFETIME AND DOPPLER BROADENING TECHNIQUES STUDIES ON THE INTERACTION BETWEEN HYDROGEN AND DEFECTS IN NICKEL

WU YI-CHU ZHU ZHI-YING

(*Department of Physics, Zhongshan University, Guangzhou 510275*)

YOSHIKO ITOH

(*Nuclear Chemistry Laboratory, The Research Institute for Physics and Chemistry,  
Wako-Shi, Saitama, Japan 351-01*)

YASUO ITO

(*RCNST, The University of Tokyo, Tokai, Ibaraki, Japan 319-11*)

(Received 22 January 1996; revised manuscript received 20 March 1996)

## ABSTRACT

The interaction between hydrogen and defects in annealed, 473 K tempered and cold-rolled nickel samples has been investigated by positron lifetime and Doppler broadening measurements. Experimental results show that there has been no effect of hydrogen-charging on the nickel samples containing only dislocations, while in the samples containing vacancies the effect was evident. A long-lifetime component appeared for the latter, which may indicate that the hydrogen-vacancy composite is also the center of vacancy agglomeration.

PACC: 7870B; 6180F; 6220M